

УДК 552.4.43

ЛИТОЛОГИЯ

Академик А. В. СИДОРЕНКО, О. И. ЛУНЕВА, Т. В. НЕМОВА

**ОБ ОСАДОЧНОМ ГЕНЕЗИСЕ ГРАНУЛИТОВ
КОЛЬСКОГО ПОЛУОСТРОВА**

Литологические исследования осадочно-метаморфических толщ сосредоточивались преимущественно на протерозойских первично кластогенных породах, как на образованиях, дающих наиболее достоверную информацию для фациальных и палеогеографических реконструкций докембрия (1-4). Это создавало представление об ограниченных возможностях применения литологических методов к исследованию глубоко метаморфизованных пород архея. Комплексное изучение гранулитов Кольского полуострова, включающее литологические и минералогические методы исследования наравне с изучением стратиграфии, тектоники и применением методов дешифрирования аэрофотоснимков, показало возможность определять генезис этих древнейших, интенсивно метаморфизованных геологических образований.

Гранулиты широко распространены на Балтийском щите. Под названием «гранулитовая формация» или «гранулитовый комплекс» объединяются разнообразные по составу породы, метаморфизованные в условиях гранулитовой фации регионального метаморфизма, слагающие междуречье Лотты и Ноты, тунды Туадаш, Сальные, Нявка, Волчья, Монче и Колвицкие, а также побережье Кандалакшской губы и районы озер Алла-Акярви и Чудь-ярв. Всеми исследователями Кольского полуострова гранулитовый комплекс отнесен к архею. Абсолютный возраст его (1950 ± 50 млн лет по отношению $\text{Pb}^{207}/\text{Pb}^{206}$, 1934 млн лет по К — Аг-методу), вероятно, соответствует времени метаморфизма.

До последних лет гранулитовый комплекс рассматривался как результат метаморфизма сложно построенной многофазной интрузии (5-7), что нашло отражение на геологических картах Кольского полуострова, или даже как поднятый блок мантийного вещества (8). Были высказывания в пользу осадочного генезиса части пород гранулитового комплекса — так называемых кислых гранулитов (9-11). В последние годы появились данные, позволяющие предполагать первично-осадочную природу не только кислых разновидностей комплекса, но и так называемых основных гранулитов (12-16).

Наши исследования проводились на западе Кольского полуострова — в междуречье Лотты и Яури-йоки, в центре — в хр. Сальные Тунды, на юго-востоке — на Кандалакшском побережье. Послойное описание и со-поставление 25 стратиграфических разрезов, прослеживание пачек и горизонтов пород по простирации, дешифрирование аэрофотоснимков показали, что породы различного состава залегают в виде пластов, хорошо прослеживающихся по простирации, имеют четкое падение и выдержанную мощность, значительно меньшую, чем протяженность пласта.

Гранулитовый комплекс залегает на гнейсах беломорской или кольской серий. Его нижнюю часть слагают амфиболиты, постепенно сменяющиеся выше гранато-амфиболовыми и гранато-диопсидо-амфиболовыми плагиосланцами (некоторые авторы называют их анортозитами). Последние перекрываются двулироксеновыми и гиперстеновыми кристаллическими сланцами (их часто называют основными гранулитами или гнейсо-нори-

тами, гнейсо-диоритами). Верхняя часть разреза гранулитового комплекса представлена гранато-кварцево-полевошпатовыми гранулитами (так называемые кислые гранулиты) с силлиманитом, рутилом и графитом. По существу только эти последние разновидности отвечают термину «гранулит», впервые примененному для аналогичных пород Саксонии. Нижние части разреза (амфиболиты и плагиосланцы) наиболее полно представлены в Сальных Тундрах и на Кандалакшском побережье, средняя часть разреза (двупироксеновые и гиперстеновые кристаллические сланцы) — в центральной части хр. Сальные Тунды, а верхняя часть разреза (собственно гранулиты) — в междуречьях Лотты и Иоты, вдоль границы с Финляндией.

Во многих разрезах можно наблюдать постепенный переход от гнейсов к амфиболитам гранулитового комплекса, выражавшийся в тонком переслаивании указанных разновидностей пород. Мощность толщи амфиболитов изменчива: 130 м в Сальных Тундрах и от 400 до 15 м на Кандалакшском побережье. В отдельных разрезах Кандалакшского побережья наблюдается замещение части амфиболитов гнейсами, что является фациальным изменением амфиболитовой толщи, отражающим процесс осадконакопления. В целом толща амфиболитов представлена чередующимися гранатовыми и безгранатовыми амфиболитами, отчетливо слоистыми с реликтами псаммитовых структур *.

Стратиграфически выше амфиболитов согласно залегают гранато-амфиболовые и гранато-диопсидо-амфиболовые плагиосланцы. Постепенный переход от амфиболитов к плагиосланцам наблюдается в северной части Сальных Тундр и в северной части Кандалакшского участка. Плагиосланцы обладают характерным внешним обликом: светлые, на выветрелой поверхности белые, сахаровидные, неясно слоистые или очень тонкослоистые породы, в которых преобладает плагиоклаз, а содержание темно-цветных колеблется в пределах 10—30 %. Мощность плагиосланцев порядка 200 м.

Стратиграфически выше плагиосланцев в Сальных Тундрах и на Кандалакшском участке с постепенным переходом залегают пироксеновые кристаллические сланцы. В центральной части хр. Сальные Тунды они подразделяются на две толщи: нижняя, мощностью 170 м, — двупироксеновые кристаллические сланцы с узелкообразными скоплениями гиперстена, иногда содержащие большое количество граната. Верхняя толща, мощностью 200 м, представлена очень тонкослоистыми двупироксеновыми кристаллическими сланцами, в которых гиперстен образует тонкие (0,1—0,5 см) мономинеральные прослои. В этой толще присутствуют прослои (0,3—3,0 м) гранато-полевошпатовых и гранато-кварцево-полевошпатовых кристаллических сланцев (гранулитов).

Самая верхняя часть разреза гранулитового комплекса, мощностью 500—600 м, развитая в бассейнах рек Яури-Йоки и Лотты, представлена гранато-биотитовыми гранулитами с рутилом, силлиманитом и графитом. Гранулиты содержат прослои пироксеновых кристаллических сланцев мощностью 0,3—3,0 м, иногда до 15 м, и обладают отчетливой тонкой горизонтальной и косой слоистостью.

В породах гранулитового комплекса отчетливо сохраняется слоистость как в пределах толщи (стратификация), так и в пределах одного пласта. Первично-осадочные текстуры обнаружены почти во всех разновидностях пород гранулитового комплекса и изучены в коренных обнажениях и в пришлифовках штуков.

Характер слоистости амфиболитов разнообразен, изменчив, непостоянен. Тонкая горизонтальная слоистость (от долей до нескольких миллиметров) обусловлена чередованием слойков существенно амфиболового и существенно полевошпатового состава. По морфологическим признакам ее можно сравнить со слоистостью замкнутых континентальных бассейнов

* Подробная петрографическая характеристика пород дана в (1-7).

небольшого размера. Другая разновидность горизонтальной слоистости выражается чередованием слоев гранатового и безгранатового амфиболита мощностью в несколько сантиметров. В безгранатовых амфиболитах встречается косая, различающаяся составом и цветом, слоистость с мощностью серий 12—15 см. Косая слоистость амфиболитов односторонняя, пучковидная, с пологими углами наклона слойков. Некоторые разновидности амфиболитов слоистостью не обладают или содержат очень редкие прослои гранатоамфиболовой породы.

Гранато-диопсидо-амфиболовые плагиосланцы, как правило, тонкослойные, реже массивные. Горизонтальная тонкая слоистость (от долей миллиметров до первых сантиметров) обусловлена чередованием лейко-кратовых (полевошпатовых) и меланократовых (гранат, темноцветные минералы) слоев. Косая слоистость (с мощностью серий 3—8 см) односторонняя, потокового типа, с прямолинейными и параллельными друг другу косыми слойками.

Тонкая параллельная выдержанная реликтовая слоистость — характерная особенность двупироксеновых и гиперстеновых кристаллических сланцев. Обычно это тонкое (от 2 до 10—15 см) чередование слоев темного двупироксенового (иногда с гранатом и амфиболом) и розовато-серого полевошпато-гранатового (или полевошпатового) кристаллического сланца с небольшим количеством пироксенов. Косая слоистость потокового типа образует в этих породах серии до 12 см мощностью. Косые слойки прямолинейны и параллельны друг другу и сильно выполаживаются у основания серии.

Наиболее интересный и большой материал дает изучение слоистости гранато-полевошпатовых, гранато-полевошпато-кварцевых и гранато-биотитовых гранулитов верхней части разреза гранулитового комплекса. Тонкая и тончайшая горизонтальная слоистость выражается в переслаивании разных по составу, зернистости и структуре слойков (рис. 1а), а также подчеркивается концентрацией биотита, граната, рутила в отдельных слойках мощностью до нескольких миллиметров. Изредка наблюдавшаяся линзовидная слоистость характеризуется наличием линз ($h = 5$ — 30 см, $l = 0,25$ — $1,5$ м) мелкозернистого гранулита среди более крупнозернистой породы близкого состава.

В породах верхней части разреза наблюдаются два морфологических типа слоистости: I. Потоковая, в которой одна разновидность представлена косослоистыми сериями мощностью 8—10 см, с косыми слойками, плавно выполаживающимися у основания серии и веерообразно расходящимися к ее кровле (рис. 1г); другая разновидность представлена косослоистыми сериями мощностью 5 см, с косыми слойками, прямолинейными и параллельными друг другу и круто выполаживающимися только у основания серии (рис. 1в). II. Перекрестная мелкая разнонаправленная косая слоистость с мощностью серий 1—3 см (рис. 1б).

Анализ горизонтальной и косой слоистости наряду с изучением вещественного состава и структурных особенностей пород гранулитового комплекса показывает, что толща амфиболитов образовалась за счет метаморфизма терригенно-глинистых осадков, богатых железом и содержащих примесь карбонатного материала. Накопление этой толщи осадков могло происходить в условиях небольших замкнутых континентальных водоемов жаркого климата. Толща плагиосланцев, по-видимому, возникла за счет метаморфизма глинистых осадков, богатых натрием и кальцием и содержащих в своем составе примесь сульфатных минералов (гипносовые глины). Их накопление, скорее всего, могло происходить в условиях обширных лагун и жаркого климата при ограниченном поступлении терригенного материала в бассейн седиментации.

Исходным материалом пироксеновых кристаллических сланцев могли служить терригенно-глинистые и мергелистые, богатые железом, титаном, редкими землями и щелочами осадки, накапливавшиеся в условиях жар-

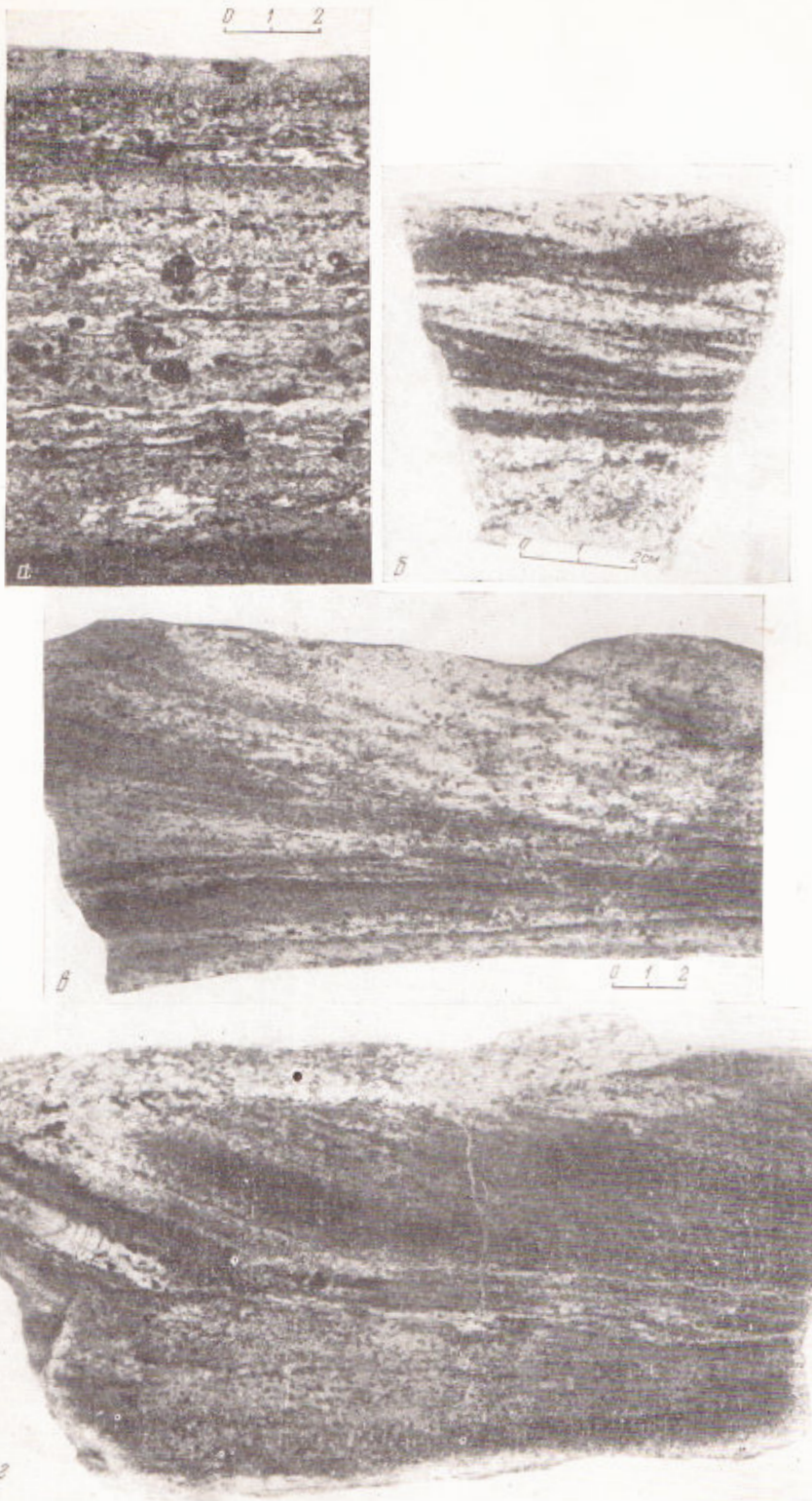


Рис. 1. Морфологические типы слоистости в гранулитах. а — тонкая горизонтальная; б — перекрестная разнонаправленная, мелкая, косая; в — потоковая, с прямолинейными и параллельными косыми слойками; г — потоковая, с веерообразно расходящимися косыми слойками

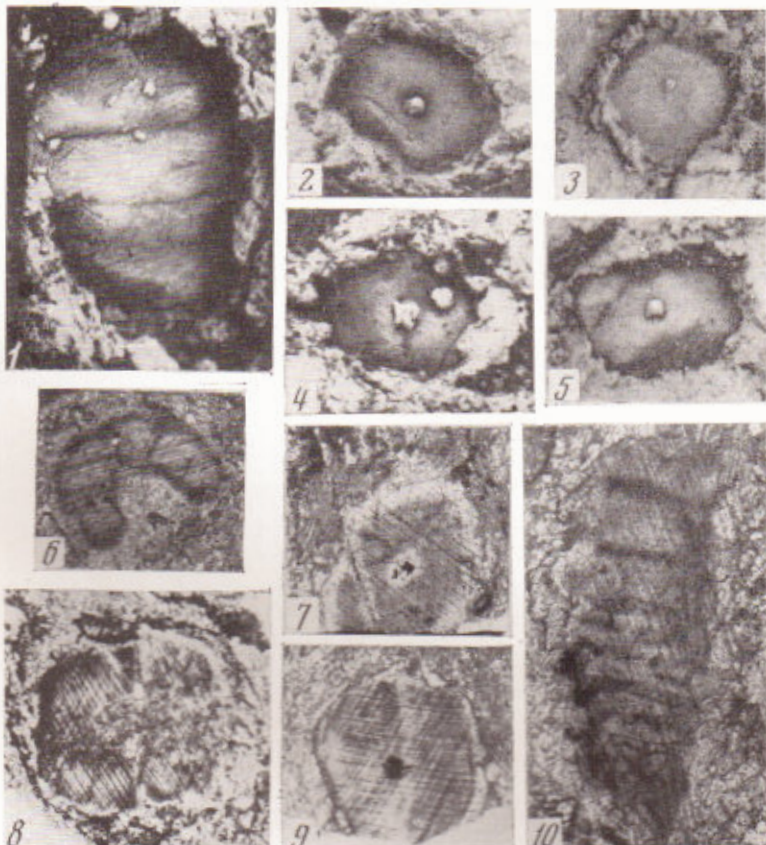


Рис. 2. Членки стеблей криноидей. 1—5 — членки криноидей в штуфах известняков: 1 — обр. № 1/10257, 2 — № 2/10257, 3 — № 3/10257, 4 — № 4/10257, 5 — № 5/10257; 6—10 — членки криноидей в шлифах: 6 — обр. № 6/10257, 7 — № 7/10257, 8 — № 8/10257, 9 — № 9/10257, 10 — № 10/10257. 1—9 — 7×, 10 — 20×. Песчанистые известняки аджарской свиты лабинской серии. Главный Кавказский хребет, правобережье р. Лашипсе, в 4 км к юго-востоку от г. Аджара (территория Абхазской АССР). Сборы Ю. Я. Потапенко, 1967 и 1969 гг.

кого и влажного климата в неглубоких водоемах и в их прибрежных частях в общем в спокойной тектонической обстановке. Высокие содержания магния, щелочей и сульфатных минералов в отдельных слоях пироксеновых кристаллических сланцев свидетельствуют о повышенной засоленности бассейнов осадконакопления в отдельные архейские эпохи.

Гранато-кварцево-полевошпатовые гранулиты образовались при метаморфизме песчано-алевритовых пород, содержащих значительное количество высокоглиноземистого глинистого вещества и прослон биогенного графита. Эти породы накапливались в условиях жаркого влажного климата в прибрежных частях неглубоких водоемов и являлись в значительной степени продуктами перемыва коры выветривания латеритного типа. Наличие в них высокоглиноземистых, титановых, редкоземельных минералов и графита может служить свидетельством процессов глубокого химического выветривания и периодического расцвета органической жизни в архейское время.

Особенности строения разреза гранулитового комплекса, площадное развитие входящих в его состав толщ, тонкообломочный характер пород, отлагавшихся даже в прибрежных условиях, свидетельствуют о том, что рельеф на континенте, откуда поступал материал, был достаточно неизменен и что интенсивных тектонических движений не происходило. О спокойном тектоническом режиме говорит и широкое, вероятно, площадное развитие коры континентального выветривания, продуктом размыва которой, по-видимому, является высокоглиноземистая толща кварцево-полевошпатовых гранулитов в верхней части разреза гранулитового комплекса.

Таким образом, литологическое изучение пород гранулитового комплекса с применением геолого-стратиграфических, литолого-петрографических, минералогических и geoхимических методов свидетельствует об осадочном генезисе этих глубоко метаморфизованных пород и позволяет судить о фаунистических и палеогеографических условиях отдельных эпох архейского осадконакопления.

Поступило
29 I 1971

ЦИТИРОВАННАЯ ЛИТЕРАТУРА

- ¹ А. В. Сидоренко, О. И. Луиёва, ДАН, 118, № 1 (1958). ² О. И. Луиёва, Изв. Карельск. и Кольск. фил. АН СССР, № 3 (1958). ³ А. В. Сидоренко, О. И. Луиёва, К вопросу о литологическом изучении метаморфических толщ, Изд. АН СССР, 1961. ⁴ О. И. Луиёва, ДАН, 152, № 4 (1963). ⁵ Е. Н. Володин, Вести. Ленингр. унив., сер. биол., геогр., геол., № 4 (1953). ⁶ Геология СССР, 27, М., 1958. ⁷ А. А. Поляков, Геолого-петрологический очерк северо-аападной части Кольского п-ва, ч. 1, Изд. АН СССР, 1935. ⁸ В. В. Жданов, Метаморфины и глубинное строение порит-диоритовой (гранулитовой) серии Русской Лапландии, «Наука», 1966. ⁹ Кгапк, Bull. Comit. Geol. Finl., № 115 (1938). ¹⁰ Sedegholm, Bull. Comit. Geol. Finl., 98 (1932). ¹¹ Л. Я. Харитонов, Тр. III сессии Комисс. по опред. абсолютн. возр. геол. форм., 1955. ¹² К. Д. Беляев, Тез. докл. регионального петрографического совещания по магматизму Балтийского щита, Апатиты, 1966. ¹³ Т. А. Федкова, Сборн. Древнейшие осадочно-вулканогенные и метаморфические комплексы Кольского п-ва, «Наука», 1966. ¹⁴ Т. А. Федкова, Сборн. Проблемы осадочной геологии докембрия, в. 2, 1967. ¹⁵ Г. Л. Горощенко, ДАН, 183, № 1 (1968). ¹⁶ Г. Л. Горощенко, Сборн. Аксессорные минералы в решении вопросов происхожд. и металлогенеза магм. комплексов, М., 1969.